

# Численный и аналитический расчет параметров степенных спектров гравитационных волн на глубокой воде

В. В. Геогджаев<sup>a, b1)</sup>, В. Е. Захаров<sup>a, b, c, d, e</sup>

<sup>a</sup>Институт океанологии им. П.П. Ширшова РАН, 117997 Москва, Россия

<sup>b</sup>Новосибирский государственный университет, 630090 Новосибирск, Россия

<sup>c</sup>University of Arizona, Tuscon, 85721 Arizona, USA

<sup>d</sup>Физический институт им. П.Н. Лебедева РАН, 119991 Москва, Россия

<sup>e</sup>Waves and Solitons LLC, 85015 Arizona, USA

Поступила в редакцию 27 июня 2017 г.

Найдено асимптотическое поведение коэффициента взаимодействия для четырехволновых взаимодействий гравитационных волн на глубокой воде в предельном случае малости двух волновых векторов по сравнению с двумя другими (длинно-короткие взаимодействия). Данное поведение коэффициента позволяет численно определить безразмерные колмогоровские константы для степенных спектров Колмогорова–Захарова. Полученные результаты важны для сравнения теории слабой турбулентности с экспериментами и наблюдениями.

DOI: 10.7868/S0370274X17150103

**Введение.** Спектр ветрового морского волнения определяется нелинейными четырехволновыми взаимодействиями, описываемыми кинетическим уравнением Хассельманна [1], которое имеет семейство стационарных решений, известное как спектры Колмогорова–Захарова (KZ) (см., например, [2]).

В простейшем изотропном случае эти спектры являются степенными:

$$N_1 = c_p \frac{P^{1/3}}{k^4}, \tag{1}$$

$$N_2 = c_q \frac{Q^{1/3}}{k^{23/6}}. \tag{2}$$

В (1), (2) величина  $P$  – поток энергии (направлен в сторону больших волновых векторов  $k$ ),  $Q$  – поток волнового действия (направлен в сторону малых волновых векторов). Здесь и далее мы полагаем плотность воды  $\rho = 1$  и ускорение свободного падения  $g = 1$ .

Подобные спектры неоднократно наблюдались как в океане, так и в лабораторных экспериментах (см., например, [3]).

В настоящей статье мы приводим результаты численного расчета констант  $c_p$  и  $c_q$ , подтверждаемые аналитической оценкой асимптотик для степенных спектров (см. далее).

**Асимптотики коэффициента взаимодействия.** Дисперсионное соотношение для гравитационных волн на глубокой воде имеет вид

$$\omega = \sqrt{|k|} \tag{3}$$

(здесь и далее полагаем ускорение свободного падения  $g = 1$ ).

Мы используем гамильтоново описание гравитационных волн [4]. После канонического преобразования получаем комплексные нормальные переменные  $b_{\mathbf{k}}$ , удовлетворяющие уравнению [5, 6]:

$$\frac{\partial b_{\mathbf{k}}}{\partial t} + i \frac{\partial H}{\partial b_{\mathbf{k}}^*} = 0, \tag{4}$$

где гамильтониан

$$H = H_0 + H_{\text{int}} \tag{5}$$

представляем в виде ряда по формально малым амплитудам волн. Главный член дает линейное приближение

$$H_0 = \int \omega_{\mathbf{k}} b_{\mathbf{k}} b_{\mathbf{k}}^* d\mathbf{k}. \tag{6}$$

Следующий порядок описывает слабую нелинейность:

$$H_{\text{int}} = \int T_{\mathbf{k}_1 \mathbf{k}_2 \mathbf{k}_3 \mathbf{k}_4} b_{\mathbf{k}_1}^* b_{\mathbf{k}_2}^* b_{\mathbf{k}_3} b_{\mathbf{k}_4} \times \\ \times \delta(\mathbf{k}_1 + \mathbf{k}_2 - \mathbf{k}_3 - \mathbf{k}_4) d\mathbf{k}_1 d\mathbf{k}_2 d\mathbf{k}_3 d\mathbf{k}_4. \tag{7}$$

<sup>1)</sup>e-mail: vvg@mail.geogjaev.ru

Ядро  $T$  было впервые выведено в [4-6]. Различные выражения для этого ядра можно сравнить в [7, 8]. Мы представляем здесь новую, более простую форму  $T$

$$\begin{aligned}
T_{\mathbf{k}_1\mathbf{k}_2\mathbf{k}_3\mathbf{k}_4} = & -\frac{1}{4} \frac{1}{(k_1k_2k_3k_4)^{1/4}} \times \\
& \times \left\{ \frac{1}{2} (k_{1+2}^2 - (\omega_1 + \omega_2)^4) \times \right. \\
& \times (\mathbf{k}_1\mathbf{k}_2 - k_1k_2 + \mathbf{k}_3\mathbf{k}_4 - k_3k_4) - \\
& - \frac{1}{2} (k_{1-3}^2 - (\omega_1 - \omega_3)^4) \times \\
& \times (\mathbf{k}_1\mathbf{k}_3 + k_1k_3 + \mathbf{k}_2\mathbf{k}_4 + k_2k_4) - \\
& - \frac{1}{2} (k_{1-4}^2 - (\omega_1 - \omega_4)^4) \times \\
& \times (\mathbf{k}_1\mathbf{k}_4 + k_1k_4 + \mathbf{k}_2\mathbf{k}_3 + k_2k_3) + \\
& + \left( \frac{4(\omega_1 + \omega_2)^2}{k_{1+2} - (\omega_1 + \omega_2)^2} - 1 \right) \times \\
& \times (\mathbf{k}_1\mathbf{k}_2 - k_1k_2)(\mathbf{k}_3\mathbf{k}_4 - k_3k_4) + \\
& + \left( \frac{4(\omega_1 - \omega_3)^2}{k_{1-3} - (\omega_1 - \omega_3)^2} - 1 \right) \times \\
& \times (\mathbf{k}_1\mathbf{k}_3 + k_1k_3)(\mathbf{k}_2\mathbf{k}_4 + k_2k_4) + \\
& + \left( \frac{4(\omega_1 - \omega_4)^2}{k_{1-4} - (\omega_1 - \omega_4)^2} - 1 \right) \times \\
& \left. \times (\mathbf{k}_1\mathbf{k}_4 + k_1k_4)(\mathbf{k}_2\mathbf{k}_3 + k_2k_3) \right\}, \quad (8)
\end{aligned}$$

где  $k_{1+2}$ ,  $k_{1-3}$ ,  $k_{1-4}$  — модули векторов  $\mathbf{k}_1 + \mathbf{k}_2$ ,  $\mathbf{k}_1 - \mathbf{k}_3$ ,  $\mathbf{k}_1 - \mathbf{k}_4$  соответственно. Подчеркнем, что (8) рассчитано только для резонансного многообразия:

$$\begin{aligned}
\mathbf{k}_1 + \mathbf{k}_2 &= \mathbf{k}_3 + \mathbf{k}_4, \\
\omega_1 + \omega_2 &= \omega_3 + \omega_4. \quad (9)
\end{aligned}$$

Матричный элемент  $T$  удовлетворяет условиям симметрии

$$T_{1234} = T_{2134} = T_{1243} = T_{3412}. \quad (10)$$

Теперь предположим, что два волновых вектора, например  $\mathbf{k}_1$  и  $\mathbf{k}_3$ , много короче остальных двух ( $\mathbf{k}_2$  и  $\mathbf{k}_4$ ). Учтя резонансное соотношение (9), можно увидеть, что  $\mathbf{k}_1$  и  $\mathbf{k}_3$  имеют приблизительно одинаковую длину. Вектора  $\mathbf{k}_2$  и  $\mathbf{k}_4$  приблизительно равны как по длине, так и по направлению. Пример такой конфигурации показан на рис. 1.

Обозначим  $k_1 = |\mathbf{k}_1|$ ,  $k_2 = |\mathbf{k}_2|$  и т.д. Имеем  $k_1 \approx k_3 \ll k_2 \approx k_4$ .

После весьма громоздких вычислений мы находим следующую асимптотику для коэффициента взаимодействия:

$$\begin{aligned}
T_{\mathbf{k}_1, \mathbf{k}_2, \mathbf{k}_3, \mathbf{k}_4} &= \frac{1}{2} k_1^2 k_2 T_{\theta_1, \theta_3} + o(k_1^2), \\
T_{\theta_1, \theta_3} &= (\cos \theta_1 + \cos \theta_3)(1 + \cos(\theta_1 - \theta_3)), \quad (11)
\end{aligned}$$

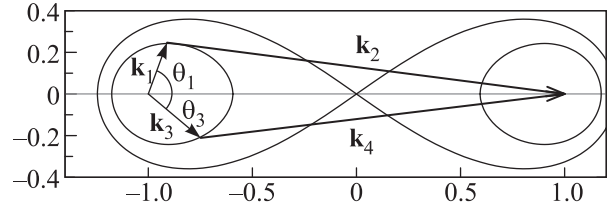


Рис. 1. Волновой квадруплет для длинно-коротких взаимодействий. Изображена кривая  $\omega_1 + \omega_2 = \text{const}$ , любые две ее точки составляют резонансный квадруплет. Углы  $\theta_1$  и  $\theta_3$  берутся по отношению к вектору  $\mathbf{k}_1 + \mathbf{k}_2 = \mathbf{k}_3 + \mathbf{k}_4$ . “Восьмерка” представляет собой кривую Филлипса

где  $\theta_1$  — угол между малым вектором  $\mathbf{k}_1$  и вектором  $\mathbf{k}_1 + \mathbf{k}_2$  (см. рис. 1), аналогично определяется  $\theta_3$ .

В диагональном случае  $\theta_1 = \theta_3$ ,  $\mathbf{k}_1 = \mathbf{k}_3$ ,  $\mathbf{k}_2 = \mathbf{k}_4$ :

$$T(\mathbf{k}_1, \mathbf{k}_2) = 2k_1^2 k_2 \cos(\theta_1). \quad (12)$$

**Степенные решения кинетического уравнения.** Стохастическое поле гравитационных волн статистически описывается спектром волнового действия  $N_{\mathbf{k}}$ :

$$\langle b_{\mathbf{k}} b_{\mathbf{k}'}^* \rangle = N_{\mathbf{k}}(t) \delta_{\mathbf{k}-\mathbf{k}'}. \quad (13)$$

Действие  $N_{\mathbf{k}}(t)$  подчиняется уравнению Хассельмана (кинетическому уравнению):

$$\frac{dN}{dt} = S_{\text{nl}}, \quad (14)$$

$$\begin{aligned}
S_{\text{nl}} = & \pi g^2 \int_{\mathbf{k}_1, \mathbf{k}_2, \mathbf{k}_3} (T_{\mathbf{k}\mathbf{k}_1\mathbf{k}_2\mathbf{k}_3})^2 \times \\
& \times (N_{\mathbf{k}} N_{\mathbf{k}_2} N_{\mathbf{k}_3} + N_{\mathbf{k}_1} N_{\mathbf{k}_2} N_{\mathbf{k}_3} - \\
& - N_{\mathbf{k}} N_{\mathbf{k}_1} N_{\mathbf{k}_2} - N_{\mathbf{k}} N_{\mathbf{k}_1} N_{\mathbf{k}_3}) \times \\
& \times \delta(\mathbf{k} + \mathbf{k}_1 - \mathbf{k}_2 - \mathbf{k}_3) \delta(\omega + \omega_1 - \omega_2 - \omega_3) \times \\
& \times d\mathbf{k}_1 d\mathbf{k}_2 d\mathbf{k}_3. \quad (15)
\end{aligned}$$

Будем искать решение стационарного уравнения

$$S_{\text{nl}} = 0. \quad (16)$$

Предположим, что решение уравнения (16) является степенной функцией

$$N = a k^{-x}. \quad (17)$$

Тогда

$$S_{\text{nl}} = a^3 g^{\frac{3}{2}} k^{-3x + \frac{19}{2}} F(x), \quad (18)$$

где  $F$  — безразмерная функция, зависящая только от  $x$ .

**Интегральная форма для функции  $F$ .** Безразмерная функция  $F$  может быть представлена в интегральной форме.

Введем базовый вектор

$$\mathbf{k}_b = \frac{1}{2} (\mathbf{k}_1 + \mathbf{k}_2) = \frac{1}{2} (\mathbf{k}_3 + \mathbf{k}_4) \quad (19)$$

(здесь использовано условие резонанса (9)). Затем нормируем вектора квадруплета  $\tilde{\mathbf{k}}_1, \tilde{\mathbf{k}}_2, \tilde{\mathbf{k}}_3, \tilde{\mathbf{k}}_4$  следующим образом:

$$\mathbf{k}_i = k_b \tilde{\mathbf{k}}_i. \quad (20)$$

Нормированный коэффициент взаимодействия  $\tilde{T}$  имеет вид

$$T_{\mathbf{k}_1 \mathbf{k}_2 \mathbf{k}_3 \mathbf{k}_4} = k_b^3 \tilde{T}_{\tilde{\mathbf{k}}_1 \tilde{\mathbf{k}}_2 \tilde{\mathbf{k}}_3 \tilde{\mathbf{k}}_4}. \quad (21)$$

Вместо нормированных  $\omega_i$  мы введем переменные  $s$  и  $s'$ :

$$s = \frac{\omega_1 + \omega_2}{2\sqrt{gk_b}} \quad s' = \frac{\omega_3 + \omega_4}{2\sqrt{gk_b}}. \quad (22)$$

(Условие резонанса принимает вид  $s = s'$ .)

Теперь, приняв нормированные вектора  $\tilde{\mathbf{k}}_1$  и  $\tilde{\mathbf{k}}_3$  за независимые переменные, получим следующий вид для  $F$ :

$$F(x) = 2\pi \int_{\tilde{k}_1 < \tilde{k}_2, \tilde{k}_3 < \tilde{k}_4} \left( \tilde{T}_{\tilde{\mathbf{k}}_1 \tilde{\mathbf{k}}_2 \tilde{\mathbf{k}}_3 \tilde{\mathbf{k}}_4} \right)^2 \left( \tilde{k}_1 \tilde{k}_2 \tilde{k}_3 \tilde{k}_4 \right)^{-x} \times \\ \times \left( \tilde{k}_1^{-\frac{23}{2}+3x} + \tilde{k}_2^{-\frac{23}{2}+3x} - \tilde{k}_3^{-\frac{23}{2}+3x} - \tilde{k}_4^{-\frac{23}{2}+3x} \right) \times \\ \times \left( \tilde{k}_1^x + \tilde{k}_2^x - \tilde{k}_3^x - \tilde{k}_4^x \right) \delta(s - s') d\tilde{\mathbf{k}}_1 d\tilde{\mathbf{k}}_3. \quad (23)$$

Входящие в (23) переменные  $s$  и  $\tilde{\mathbf{k}}_2$  определяются через  $\tilde{\mathbf{k}}_1$ , а переменные  $s'$  и  $\tilde{\mathbf{k}}_4$  – через  $\tilde{\mathbf{k}}_3$ .

**Свойства функции  $F$ .** Легко показать, что интегралы в (23) сходятся, если

$$\frac{5}{2} < x < \frac{19}{4}; \quad (24)$$

это “окно возможностей” для степенных решений. На концах этого интервала  $F \rightarrow \infty$ . Используя асимптотику (11), мы находим

$$F \rightarrow \frac{25\pi^3}{4} \frac{1}{x - \frac{5}{2}}, \quad x \rightarrow \frac{5}{2}, \\ F \rightarrow \frac{1045\pi^3}{256} \frac{1}{\frac{19}{4} - x}, \quad x \rightarrow \frac{19}{4}. \quad (25)$$

Подчеркнем, что (25) является результатом строгих аналитических вычислений.

Функция  $F$  была рассчитана численно. Отличное совпадение асимптотического поведения  $F$  с асимптотами, полученными аналитически, подтверждает точность численного кода.

Функция  $F$  показана на рис. 2.

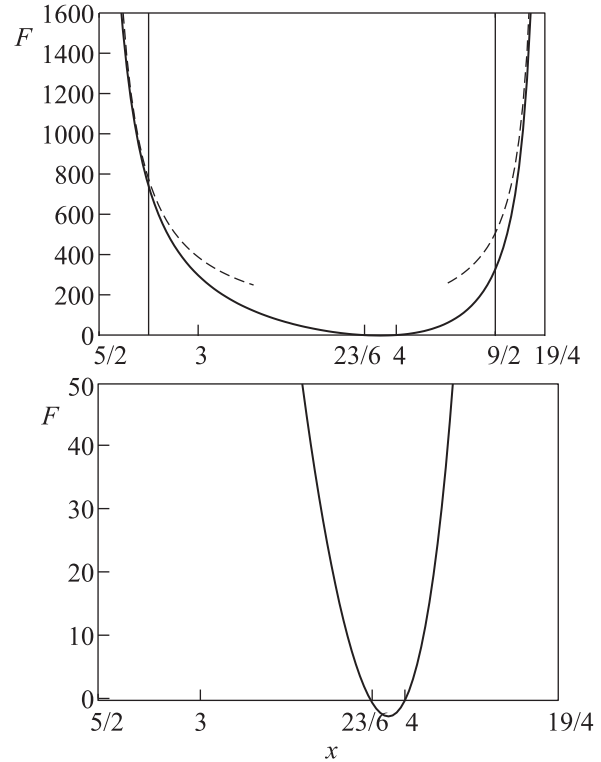


Рис. 2. График функции  $F$  с ее асимптотами. На втором рисунке часть графика с нулями функции в увеличенном масштабе

В соответствии с общей теорией [6] функция  $F$  имеет ровно два нуля:  $x = 4$  и  $x = 23/6$ . Соответствующими им спектрами Колмогорова–Захарова являются

$$N_k^{(1)} = c_p P_0^{1/3} \frac{1}{k^4}, \quad (26)$$

$$N_k^{(2)} = c_q Q_0^{1/3} \frac{1}{k^{23/6}}, \quad (27)$$

где  $P_0$  – поток энергии,  $Q_0$  – поток волнового действия. Безразмерные константы  $c_p$  and  $c_q$  определяются первыми производными  $F$ :

$$c_p = \left( \frac{3}{2\pi F'(4)} \right)^{1/3}, \quad (28)$$

$$c_q = \left( -\frac{3}{2\pi F'(23/6)} \right)^{1/3}. \quad (29)$$

Различные оценки  $c_p$  и  $c_q$  приведены в [9].

Наши численные вычисления производных функции  $F$  при  $x = 4$  и  $x = 23/6$  дают

$$c_p = 0.203, \quad c_q = 0.194. \quad (30)$$

Необходимо подчеркнуть, что известный спектр Филлипса [10]

$$N_{\mathbf{k}} = \frac{\alpha}{\omega k^4} \sim k^{-9/2}$$

также принадлежит к “окну возможностей” для степенных спектров, хотя и не является колмогоровским.

Мы рассчитали, что при  $x = 9/2$  значение

$$F = 327.$$

Авторы благодарят С.И. Бадулина за полезные обсуждения. Авторы признательны за поддержку Российскому научному фонду, грант # 14-22-00174.

- 
1. K. Hasselmann, *J. Fluid Mech.* **12**, 481 (1962).
  2. V.E. Zakharov, V.S. Lvov, and G. Falkovich, *Kolmogorov Spectra of Turbulence I. Wave turbulence*, Springer-Verlag, Berlin (1992).
  3. V.E. Zakharov, S.I. Badulin, P. A. Hwang, and G. Caulliez, *J. Fluid Mech.* **780**, 503 (2015).
  4. V.E. Zakharov, *Prikl. Mekh. Tekh. Fiz.* **9**(2), 86 (1968) [*J. Appl. Mech. Tech. Phys.* **9**(2), 190 (1968/1972)].
  5. V.P. Krasitskii, *J. Fluid Mech.* **272**, 1 (1994).
  6. V.E. Zakharov, *Eur. J. Mech. B/Fluids* **18**(3), 327 (1999).
  7. A.I. Dyachenko and Y.V. Lvov, *J. Phys. Oceanography* **25**, 3237 (1995).
  8. S.I. Badulin, A.N. Pushkarev, D. Resio, and V.E. Zakharov, *Nonlin. Processes Geophys.* **12**, 891 (2005).
  9. S.I. Badulin and V.E. Zakharov, *Nonlin. Processes Geophys.* **24**, 237 (2017).
  10. O.M. Phillips, *J. Fluid Mech.* **4**, 426 (1958).